

ется условием получения твердости восстановленной поверхности в пределах 50...52 HRC. Анализ изменения микроструктуры и твердости припаянной стальной ленты показал, что твердость можно варьировать, изменяя скорость охлаждения от 500 до 1500 °C/с. Это подтверждается также структурной однородностью материала детали на глубине до 1,0...1,5 мм, где микротвердость находится в пределах нового изделия.

Разработанная технология восстановления изношенных деталей электроконтактной приваркой биметаллических покрытий характеризуется высокой производительностью и низкой энергоемкостью процесса, получением соединения с незначительной

ЗТВ и сохранением первоначальных свойств металла детали при высокой прочности соединения.

Список литературы

1. Бурак, П.И. Электроконтактная приварка металлической ленты через промежуточный слой из порошкового материала / П.И. Бурак, Р.А. Латыпов // Материалы междунаучно-технич. конф. «Научные проблемы и перспективы развития ремонта, обслуживания машин и восстановления деталей». — М.: ГОСНИТИ, 2003. — С. 134–137.
2. Люшинский, А.В. Особенности диффузионной сварки через промежуточные слои / А.В. Люшинский // Тезисы докладов «Сварка — качество — конкурентоспособность». — М.: 2002. — С. 59–60.
3. Технология и оборудование контактной сварки / Под ред. Б.Д. Орлова. — М.: Машиностроение, 1986.

УДК 62–231.321.2

Б.В. Пылаев, канд. техн. наук, доцент

ФГОУ ВПО «Московский государственный агроинженерный университет имени В.П. Горячкина»

МЕТОДИКА ПРОФИЛИРОВАНИЯ ПЛОСКИХ КУЛАЧКОВ

Технология изготовления кулачков в настоящее время использует станки типа ЧПУ, обеспечивающие высокую точность профилирования, поэтому задача вычисления координат рабочего профиля кулачка является актуальной. Известный графический метод достаточно грубый [1], а точный математический метод определения рабочего профиля как огибающую семейства кривых в целом мало пригоден для инженерной практики [1, 2]. В статье дана методика профилирования плоских кулачков, которую можно рекомендовать при конструировании кулачковых механизмов.

На рис. 1 показаны три типа наиболее распространенных плоских кулачковых механизма: а) с роликовым коромыслом; б) с роликовым толкателем и в) с тарельчатым толкателем.

Рассмотрим кулачковый механизм с коромыслом (рис. 2). В центре *O* вращения кулачка 2 поместим начала неподвижной системы координат *Oξη* и связанной с кулачком подвижной — *Oxy*. Точка *B(ξ_Bη_B)* — центр вращения коромысла 2, длина которого *L = BA*; *r* — радиус ролика 3. Центр *A* ролика перемещается кулачком по дуге *A₀A₁* радиуса *L*, *R* — радиус-вектор теоретического профиля *Π_T*.

Входным параметром является угол поворота кулачка φ , а выходным — угол поворота коромысла $\gamma = \gamma(\varphi)$ — заданная функция, размах колебания коромысла — угол $\lambda = \gamma_{max}$. По заданной функции определим координаты *C(x, y)* рабочего профиля *Π_p* кулачка, *R_p* — радиус-вектор рабочего профиля.

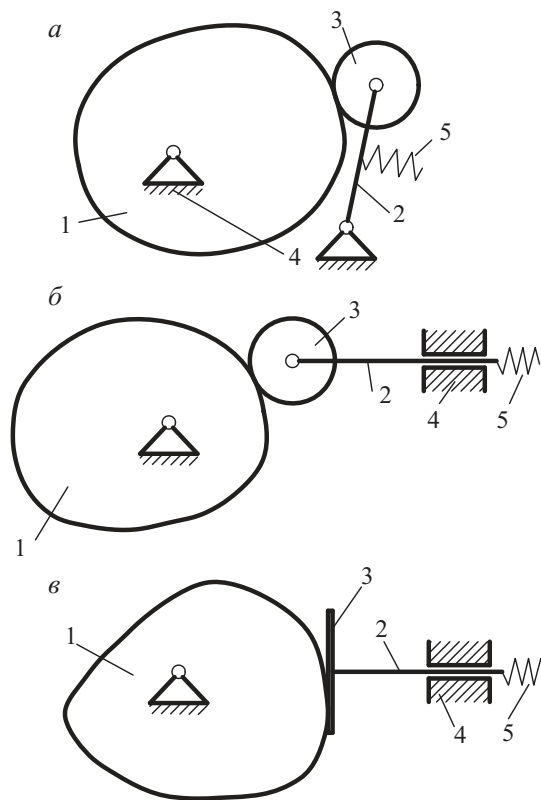


Рис. 1. Наиболее распространенные плоские кулачковые механизмы:
 а — с роликовым коромыслом; б — с роликовым толкателем; в — с тарельчатым толкателем;
 1 — кулачок (входное звено); 2 — коромысло или толкатель (выходное звено); 3 — ролик (а, б) или тарелка (в); 4 — стойка (корпус); 5 — пружина

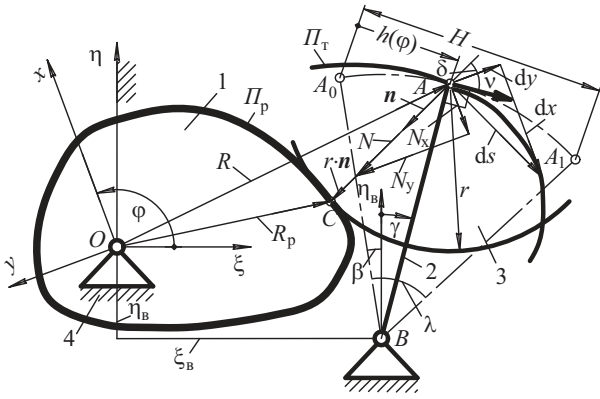


Рис. 2. Кулачковый механизм с коромыслом

В системе $O\xi\eta$ координаты центра ролика A запишутся как

$$\xi = L\sin(\gamma + \beta) + \xi_B, \eta = L\cos(\gamma + \beta) + \eta_B, \quad (1)$$

а в системе Oxy , используя формулы преобразования координат поворотом на угол φ , координаты центра ролика A , следовательно, проекции вектора R теоретического профиля Π_T :

$$x = \xi\cos\varphi + \eta\sin\varphi, y = -\xi\sin\varphi + \eta\cos\varphi.$$

Кулачок с роликом образуют высшую пару, следовательно, точка их касания лежит на общей нормали теоретического Π_T и рабочего Π_p профилей. Вектор нормали построим следующим образом. Проведем элементарный вектор ds перемещения центра A , проекции которого dx и dy . Вектор нормали N получается поворотом вектора ds на 90° в сторону центра кривизны теоретического профиля, проекции которого, как видно из рис. 2, равны

$$N_x = dy, N_y = -dx,$$

модуль вектора нормали

$$|N| = \sqrt{dx^2 + dy^2}.$$

Проекция единичного вектора нормали

$$n_x = \frac{N_x}{|N|} = \frac{\frac{dy}{d\varphi}}{\sqrt{\left(\frac{dx}{d\varphi}\right)^2 + \left(\frac{dy}{d\varphi}\right)^2}},$$

$$n_y = \frac{N_y}{|N|} = \frac{-\frac{dx}{d\varphi}}{\sqrt{\left(\frac{dx}{d\varphi}\right)^2 + \left(\frac{dy}{d\varphi}\right)^2}}.$$

Вектор рабочего профиля $R_p = R + rn$, проекции которого являются координатами рабочего профиля:

$$x_p = x + rn_x, y_p = y + rn_y.$$

Проекция аналога вектора скорости v_q центра A и единичного вектора нормали n в неподвижной системе $O\xi\eta$:

$$v_{q\xi} = \frac{d\xi}{d\varphi} = L\cos(\gamma + \beta)\frac{d\gamma}{d\varphi},$$

$$v_{q\eta} = \frac{d\eta}{d\varphi} = -L\sin(\gamma + \beta)\frac{d\gamma}{d\varphi}; \quad (2)$$

$$n_o = n_x\cos\varphi - n_y\sin\varphi, n_s = n_x\sin\varphi + n_y\cos\varphi.$$

Углом давления δ кулачка на ролик является острый угол между линией действия нормали и вектором скорости центра A , который находится из скалярного произведения векторов $v_q n$:

$$\delta_k = \arccos \left| \frac{v_{q\xi}n_\xi + v_{q\eta}n_\eta}{\sqrt{v_{q\xi}^2 + v_{q\eta}^2}} \right| =$$

$$= \arccos \left| n_\xi \cos(\gamma + \beta) - n_\eta \sin(\gamma + \beta) \right|. \quad (3)$$

Аналог и угловая скорость коромысла

$$\omega_q = \frac{d\gamma(\varphi)}{d\varphi}, \omega_k = \omega\omega_q,$$

где $\omega = \frac{d\varphi}{dt}$ — угловая скорость кулачка (t — время).

Аналог и угловая скорость коромысла

$$\varepsilon_q = \frac{d\omega_q}{d\varphi}, \varepsilon_k = \omega^2\varepsilon_q + \omega_q\varepsilon,$$

где $\varepsilon = \frac{d\omega}{dt}$ — угловое ускорение кулачка.

Кулачковый механизм с роликовым толкателем имеет выходным параметром перемещение центра A кулачка (см. рис. 2) $h = h(\varphi)$, $h(0) = 0$, максимальное перемещение $H = h_{\max}$. Размещая толкатель параллельно оси $O\xi$, т. е. на расстоянии $\eta_A = \text{const}$, имеем в системе $O\xi\eta$ координаты центра ролика A :

$$\xi = h(\varphi) + \xi_0, \eta = \eta_A.$$

Полученные выше зависимости (1) и (2) верны для рассматриваемого механизма. Проекция аналогов векторов скорости v_q и ускорения a_q центра A в неподвижной системе $O\xi\eta$:

$$v_{q\xi} = \frac{d\xi}{d\varphi} = \frac{dh}{d\varphi}, v_{q\eta} = 0;$$

$$a_{q\xi} = \frac{dv_{q\xi}}{d\varphi}, a_{q\eta} = 0,$$

скорость и ускорение центра A

$$v_A = \omega v_{q\xi}, a_A = \omega^2 a_{q\xi} + \varepsilon v_{q\xi},$$

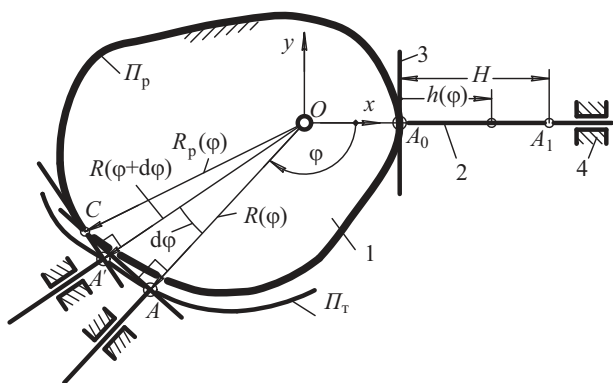


Рис. 3. Кулачковый механизм с тарельчатым толкателем

угол давления, используя выражение (3), запишется как

$$\delta_{пр} = \arccos \left| \frac{V_{q\xi} n_{\xi} + V_{q\eta} n_{\eta}}{\sqrt{V_{q\xi}^2 + V_{q\eta}^2}} \right| = \arccos |n_{\xi}|.$$

Кулачковый механизм с тарельчатым толкателем имеет аналогичные, выше рассмотренные выходные параметры кулачкового механизма с роликовым толкателем: перемещение центра A кулачка (рис. 3): $h = h(\varphi)$, $h(0) = 0$, максимальное перемещение $H = h_{max}$.

$R(\varphi) = h(\varphi) + R_0$ — радиус-вектор теоретического профиля Π_r , где минимальный радиус $R_0 = R(0) = OA_0$. Для получения рабочего профиля Π_p зафиксируем кулачок и рассмотрим поворот толкателя относительно центра вращения кулачка O , при произвольном угле φ и $\varphi + d\varphi$, где $d\varphi$ — элементарное приращение угла. Точкой рабочего профиля C является пересечение контактных прямых тарелок, соответствующих точкам A и A' теоретического профиля. Уравнения контактных прямых запишем в виде

$$f(x, y, \varphi) = x \cos \varphi + y \sin \varphi - R(\varphi) = 0,$$

$$f(x, y, \varphi + d\varphi) = x \cos(\varphi + d\varphi) + y \sin(\varphi + d\varphi) -$$

$$- R(\varphi + d\varphi) = x \cos \varphi \cos d\varphi - x \sin \varphi \sin d\varphi +$$

$$+ y \sin \varphi \cos d\varphi + y \cos \varphi \sin d\varphi - R(\varphi + d\varphi) = 0,$$

$$f(x, y, \varphi + d\varphi) \rightarrow x \cos - x \sin \varphi d\varphi + y \sin \varphi +$$

$$+ y \cos \varphi d\varphi - R(\varphi + d\varphi) = 0,$$

$$f'_{\varphi}(x, y, \varphi) = \frac{f(x, y, \varphi + d\varphi) - f(x, y, \varphi)}{d\varphi} =$$

$$= -x \sin \varphi + y \cos \varphi - R'_{\varphi}(\varphi) = 0.$$

$$\text{Система } \begin{cases} f(x, y, \varphi) = 0 \\ f'_{\varphi}(x, y, \varphi) = 0 \end{cases}$$

служит для описания образующей семейства линий, в нашем случае системы прямых [2, 3]. Выразим из

$$f'_{\varphi}(x, y, \varphi) = 0 \rightarrow x = \frac{y \cos \varphi - R'_{\varphi}}{\sin \varphi} \rightarrow f(x, y, \varphi) =$$

$$= y \cos^2 \varphi + y \sin^2 \varphi - R \cos \varphi - R'_{\varphi} \sin \varphi = 0;$$

$$f'_{\varphi}(x, y, \varphi) = 0 \rightarrow y = \frac{x \sin \varphi + R'_{\varphi}}{\cos \varphi} \rightarrow f(x, y, \varphi) =$$

$$= x \cos^2 \varphi + x \sin^2 \varphi - R \cos \varphi + R'_{\varphi} \sin \varphi = 0.$$

Учитывая, что полученные уравнения являются параметрическими уравнениями рабочего профиля, имеем

$$x_p = R \cos \varphi - R'_{\varphi} \sin \varphi, y_p = R \sin \varphi + R'_{\varphi} \cos \varphi.$$

Так как нормаль в точке C контакта перпендикулярна тарелке, следовательно, параллельна толкателю, поэтому угол давления $\delta_{тр} = 0$.

В качестве примеров рассмотрим профилирование кулачков по предложенной методике для трех кулачковых механизмов (см. рис. 1), обеспечивающих скорость выходного звена пропорциональной $\sin^2 \varphi$.

Введем характеристическую систему функций

$$\begin{cases} U(\varphi) = \frac{\varphi - 0,5 \sin 2\varphi}{\pi}, & 0 \leq \varphi < \pi; \\ U(\varphi) = 2 - \frac{\varphi - 0,5 \sin 2\varphi}{\pi}, & \pi \leq \varphi < 2\pi, \end{cases}$$

производные от которой

$$\begin{cases} U_1(\varphi) = \frac{dU}{dt} = \frac{1 - \cos 2\varphi}{\pi} = \frac{2}{\pi} \sin^2 \varphi; \\ U_2(\varphi) = \frac{dU_1}{dt} = \frac{2}{\pi} \sin 2\varphi, & 0 \leq \varphi < \pi; \\ U_1(\varphi) = \frac{dU}{dt} = -\frac{1 - \cos 2\varphi}{\pi} = -\frac{2}{\pi} \sin^2 \varphi; \\ U_2(\varphi) = \frac{dU_1}{dt} = -\frac{2}{\pi} \sin 2\varphi, & \pi \leq \varphi < 2\pi. \end{cases}$$

Графики этих функций показаны на рис. 4.

1. Кулачковый механизм с роликовым коромыслом (рис. 1а).

Зададим угол поворота коромысла $\gamma(\varphi) = \lambda U(\varphi)$, где $\lambda = \pi/3$ — размах коромысла длиной $L = 100$ мм, радиус ролика $r = 20$ мм, $\beta = -\pi/6$, $\xi_B = 150$ мм, $\eta_B = -90$ мм. Теоретический $\Pi_{тк}$ и рабочий $\Pi_{рк}$ профили кулачка, рассчитанные по предложенной методике, даны на рис. 5. Максимальный угол давления $\delta_{max} = 38^\circ$ при $\varphi = 317^\circ$. Аналоги угловых скорости и ускорения коромысла

$$\omega_q = \frac{d\gamma}{d\varphi} = \lambda U_1, \varepsilon_q = \frac{d\lambda U_1}{d\varphi} = \lambda U_2.$$

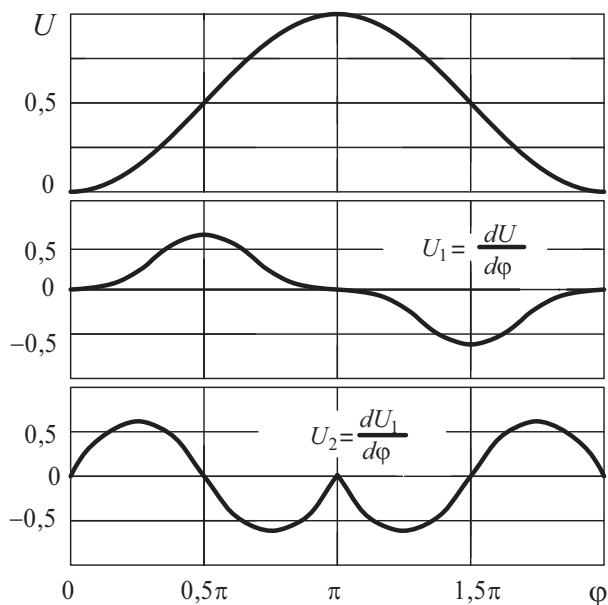


Рис. 4. Характеристические функции

При угловой скорости кулачка $\omega(t)$ имеем угловую скорость и ускорение коромысла

$$\omega_k = \omega \omega_q = \omega \lambda U_1;$$

$$\varepsilon_k = \omega^2 \varepsilon_q + \omega_q \frac{d\omega}{dt} = \omega^2 \lambda U_2 + \frac{d\omega}{dt} \lambda U_1,$$

следовательно, поставленная задача решена: угловая скорость коромысла пропорциональна $\sin^2 \varphi$.

2. Кулачковые механизмы с роликовым и тарельчатым толкателем (рис. 1б, в).

Зададим закон перемещения толкателя $h(\varphi) = HU(\varphi)$, где $H = 100$ мм — максимальное перемещение толкателя, радиус ролика $r = 20$ мм, $\eta_A = 0$. Теоретический Π_t и рабочие Π_{pp} , Π_{pt} профили, соответственно кулачков с роликовым и тарельчатым толкателями, рассчитанные по предложенной методике, даны на рис. 5. Максимальный угол давления роликового толкателя $\delta_{\max} = 24^\circ$ при $\varphi = 80^\circ$ и 279° ,

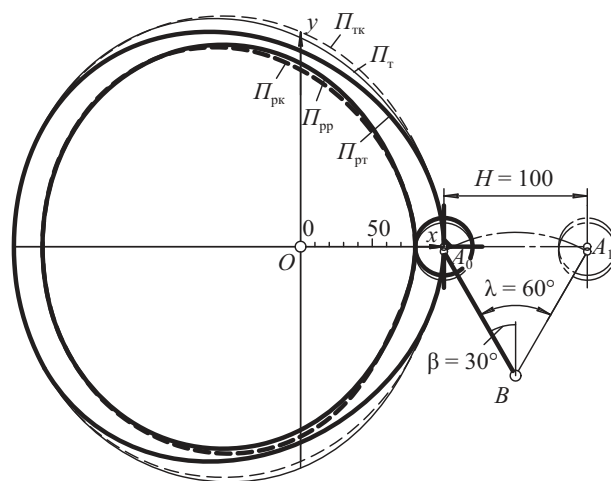


Рис. 5. Теоретический и рабочий профили кулачков для трех типов механизмов

а у тарельчатого толкателя $\delta_{tt} = 0$. Аналоги скорости и ускорения толкателя

$$v_q = \frac{dh}{d\varphi} = HU_1, \quad a_q = \frac{dHU_1}{d\varphi} = HU_2.$$

При угловой скорости кулачка $\omega(t)$ имеем скорость и ускорение толкателя

$$v_A = \omega v_q = \omega HU_1;$$

$$a_A = \omega^2 a_q + v_q \frac{d\omega}{dt} = \omega^2 HU_2 + \frac{d\omega}{dt} HU_1,$$

таким образом, скорость v_A перемещения толкателей пропорциональна $\sin^2 \varphi$.

Предложенная методика профилирования кулачков достаточно эффективна и может быть рекомендована для реализации в инженерной практике.

Список литературы

1. Теория механизмов и машин / Под ред. К.В. Фролова. — М.: Высшая школа, 1987.
2. Попов, Н.Н. Расчет и проектирование кулачковых механизмов / Н.Н. Попов. — М.: Машиностроение, 1980.
3. Болтянский, В.Г. Огибающая / В.Г. Болтянский. — М.: ГИФМЛ, 1961.

УДК 621.83:699.718

А.В. Коломейченко, канд. техн. наук, доцент

Н.С. Чернышов, канд. техн. наук

ФГОУ ВПО «Орловский государственный агроинженерный университет»

ОПРЕДЕЛЕНИЕ КОРРОЗИОННОЙ СТОЙКОСТИ МДО-ПОКРЫТИЯ

Алюминиевые сплавы обладают такими ценными свойствами, как легкость, высокая прочность в сочетании с малой плотностью, удовлетворительная коррозионная стойкость, хорошая теплопровод-

ность. Поэтому они нашли широкое применение в машиностроении, в том числе для изготовления деталей, работающих в системе охлаждения двигателей. В то же время в результате воздействия аб-